



کانی‌شناسی و ژئوشیمی کانه‌زایی توریم در کانسار آهن چاه‌گز، منطقه بافق، زون ایران مرکزی

سمانه ضیاپور^{*۱,۲}، داریوش اسماعیلی^۱، خالق حشنودی^۲، شجاع الدین نیرومند^۱

۱. گروه زمین‌شناسی، دانشکده زمین‌شناسی، پردیس علوم، دانشگاه تهران، صندوق پستی: ۱۴۱۵۵۶۴۵۵، تهران- ایران

۲. پژوهشکده چرخه ساخت هسته‌ای، پژوهشگاه علوم و فنون هسته‌ای، سازمان انرژی اتمی ایران، صندوق پستی: ۱۳۶۵-۸۴۸۶، تهران- ایران

*Email: sziapour@aeoi.org.ir

مقاله‌ی پژوهشی

تاریخ دریافت مقاله: ۱۳۹۹/۱۱/۲۹ تاریخ پذیرش مقاله: ۱۴۰۰/۲/۲۹

چکیده

کانسار آهن چاه‌گز (آنومالی XIV) در منطقه معدنی بافق در زون ساختاری ایران مرکزی در استان یزد واقع شده است. مجموعه سنگ‌های ساب و لکانیک و ولکانیک با ترکیب گرانیت تا دیوریت با سن کامبرین آغازین، سنگ میزبان این کانسار را تشکیل داده‌اند. بررسی‌های طیف‌سنجی گامای زمینی، مطالعات کانی‌شناسی و ژئوشیمیایی در این کانسار نشان می‌دهد که کانه‌زایی توریم عمده‌اً همراه با دگرسانی‌های سدیمی-کلسیمی و منیزیمی و در مقایر فرعی همراه با کانسنسنگ مگنتیت است. مطالعات کانی‌شناسی به وسیله میکروسکوپ نوری و الکترونی (SEM) و (EPMA) نشان می‌دهد که کانی اصلی میزبان توریم در کانسار چاه‌گز، توریت است و کانی‌های تیتانیت، آلانیت و زیرکن نیز در مقادیر فرعی وجود دارند. میانگین عیار توریم و Σ REE در زون کانه‌زایی توریم به ترتیب ۴۵۰ و ۵۹۶ ppm است. توریت در دگرسانی سدیمی-کلسیمی در همراهی با آلبیت، اکتنیولیت، ترمولیت و اوپیت بوده و در دگرسانی منیزیمی همراه با کانی تالک تشکیل شده است. توریت در کانسنسنگ آهن همراه با مجموعه کانی‌ای مگنتیت، کلسیت و آپاتیت تشکیل شده است. الگوهای مشابه توزیع عناصر نادر خاکی بهنجار شده نسبت به گوشه‌های میزبان و زون کانه‌زایی توریم بیان گر ارتباط این کانه‌زایی با مگماتیسم کالک-آلکان کامبرین آغازین در موقعیت کمان قاره‌ای می‌باشد. وجود مگنتیت برازنز با توریت و ناهنجاری منفی Eu در نمونه‌های زون کانه‌زایی توریم می‌تواند حاکی از شرایط احیایی سیال عامل کانه‌زایی توریم باشد.

کلیدواژه‌ها: کانسار چاه‌گز، منطقه معدنی بافق، کانه‌زایی توریم، دگرسانی سدیمی-کلسیمی، دگرسانی منیزیمی

Mineralogy and geochemistry of thorium mineralization in the Chahgaz iron deposit, Bafq district, Central Iran

S. Ziapour^{*1,2}, D. Esmaeily¹, K. Khoshnoodi², S. Niroomand¹

1. Department of Geology, Faculty of Science, University of Tehran, P.O.BOX: 141556455, Tehran- Iran

2. Nuclear Fuel Cycle Research School, Nuclear Science and Technology Research Institute, AEOI, P.O.Box:11365-8486, Tehran-Iran

Research Article

Received 17.2.2021, Accepted 19.5.2021

Abstract

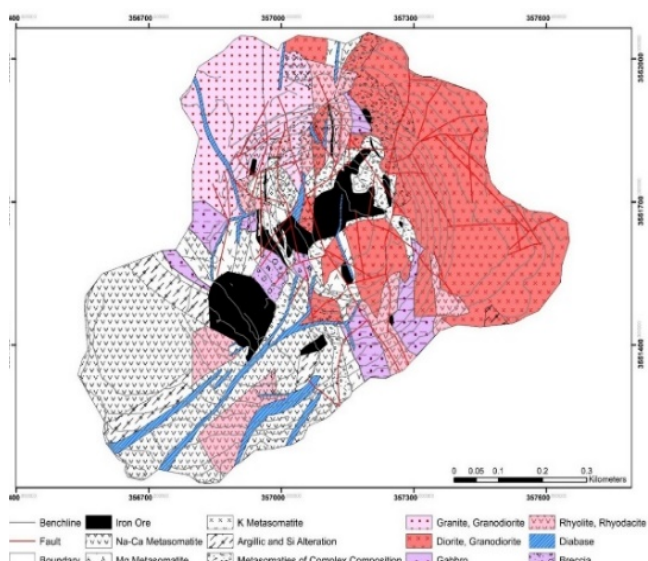
The Chahgaz iron deposit (XIV Anomaly) is located in the Bafq mining district in the Central Iranian geostructural zone in Yazd province. The Chahgaz deposit is hosted by Early Cambrian subvolcanic and volcanic rocks that range compositionally from granite to diorite. The field gamma spectrometry, mineralogical and geochemical studies in this deposit indicate that the thorium mineralization is mainly associated with Na-Ca and Mg- alterations, and in minor amount with the magnetite ore. The mineralogical studies by optical and electron microscope (SEM and EPMA) indicate that the main thorium host mineral in the Chahgaz deposit is thorite associated with minor titanite, allanite and zircon. The average contents of Th and Σ REE in the Th-mineralization zone are 450 and 596 ppm, respectively. Thorite is paragenesis with albite, actinolite, tremolite and augite in the Na-Ca alteration zone, and with talc in the Mg- alteration zone. In the Th-bearing iron ore, thorite is paragenesis with magnetite, calcite and apatite mineral assemblage. The similarity in mantle-normalized REE patterns of host rocks and thorium mineralization zone suggests that Th-mineralization is related to Early Cambrian calc-alkaline magmatism in continental-margin arc setting. The occurrence of paragenetic magnetite with thorite and distinct negative Eu anomaly in the thorium mineralization zone can be inferred probably a reduced condition for thorium mineralizing fluids.

Keywords: Chahgaz deposit, Bafq mining district, Thorium mineralization, Na-Ca alteration, Mg- alteration



۱. مقدمه

منطقه بافق میزبان کانسارهای متعدد اکسید آهن- آپاتیت در ایران است، محققان بسیاری بر روی این منطقه کار کرده‌اند [۱۳-۸]. سازند تاشک به عنوان بی‌سنگ پر کامبرین منطقه بافق مشکل از شیل، اسلیت، ماسه سنگ کوارتزی و فیلیت است که به صورت ناپیوسته توسط توالی آتشفسانی- رسوی به سن کامبرین آغازین پوشیده شده است. سنگ‌های پر کامبرین و اینفر کامبرین در محدوده چاه‌گز رخمنون ندارند. توالی آتشفسانی- رسوی مشکل از ریولیت تا ریوداسیت، آندزیت، بازلات، توف، شیل، ماسه سنگ، دولومیت، آهک دولومیتی و سنگ‌های تبخیری است [۱۴]. بخش عمده سنگ‌های محدوده کانسار چاه‌گز، سنگ‌های نیمه‌نفوذی با ترکیب گرانیت تا دیوریت و سنگ‌های خروجی با ترکیب ریولیت تا ریوداسیت کالک- آلکالن با پاتسیم بالا به سن کامبرین آغازین هستند که در واقع سنگ‌های میزبان کانه‌زایی آهن را تشکیل می‌دهند. ضخامت هاله دگرسانی در این محدوده بسیار متغیر است. در بخش غربی کانسار، گرانیتهای موسوم به گرانیت زریگان رخمنون دارند و در بخش‌های شرقی کانسار، گرانودیوریت و دیوریتهای چاه‌گز رخمنون دارند (شکل ۱). توده‌های نفوذی گابرویی کوچکی نیز در محدوده کانسار وجود دارند. تمامی این سنگ‌ها درجه‌های متغیری از دگرسانی گرمابی را متحمل شده‌اند و نوع و شدت دگرسانی به نوع سنگ، عمق و فاصله از توده معنی وابسته است. دایک‌های دیابازی جوان‌تر تمام سنگ‌های منطقه و کانستنگ آهن را قطع کرده‌اند که در برخی نقاط به اکتینولیت، کلریت و اپیدوت دگرسان شده‌اند [۱۵].



شکل ۱. نقشه زمین‌شناسی کانسار چاه‌گز [۱۵].

ذخایر اکسید آهن نوع کایرون (IOA) رده‌ای از ذخایر آهن هستند که در ارتباط با ماجماتیسم کالک آلکالن و دگرسانی سدیمی- کلسیمی- پاتاسیمی در مقیاس منطقه‌ای تا کانساری هستند و در محیط‌های مختلف زمین‌شناسی در جهان شناسایی شده‌اند [۱-۵]. ذخایر اکسید آهن- آپاتیت نوع کایرون می‌توانند همراه با مقادیر قابل توجهی عناصر نادر خاکی و توریم باشند [۶-۷]. منطقه معدنی بافق در پهنه ایران مرکزی میزبان ذخایر بزرگ اکسید آهن- آپاتیت نوع کایرون (بیش از ۴۰ آنومالی آهن) با بیش از ۲ میلیارد تن ذخیره است که در اوایل پالئوزوئیک تشکیل شده‌اند. این ذخایر عمدها در توفهای فلزیک کامبرین آغازین با ترکیب ریولیتی تا ریوداسیتی و واحدهای آتشفسانی- رسوی واقع شده‌اند [۴-۸]. همراهی ذخایر آهن منطقه بافق با سنگ‌های آتشفسانی فلزیک متعلق به واحدهای آتشفسانی- رسوی کامبرین آغازین و همچنین با زون‌های دگرسانی آلکالن نشان از رابطه ژنتیکی کانه‌زایی آهن، ماجماتیسم کامبرین آغازین و ماتاسوماتیسم آلکالن دارد [۸-۱۰]. کانسار آهن نوع کایرون چاه‌گز (آنومالی XIVa) با میزان ذخیره تقریبی ۸۳ میلیون تن، یکی از بزرگ‌ترین و مهم‌ترین ذخایر آهن ناحیه بافق است که در فاصله ۴۳ کیلومتری شمال معدن چغارت در منطقه معدنی بافق واقع شده است [۸]. توالی آتشفسانی- رسوی با سن کامبرین آغازین میزبان این ذخیره است. کانه‌زایی آهن غالباً در واحدهای گرانیتی، دیوریتی، ریولیتی و ریوداسیتی قرار دارد که متحمل دگرسانی گرمابی شدیدی شده‌اند [۸، ۱۱].

براساس بررسی‌های رادیومتری زمینی توسط طیفسنج RS-۲۳۰ در کانسار چاه‌گز مشخص شد که زون‌های دگرسانی حاشیه توده معدنی آهن دارای آنومالی پرتوزایی مربوط به عنصر توریم هستند و در پی آن، تجزیه شیمیایی نمونه‌های برداشت شده از واحدهای مختلف سنگ شناختی این منطقه، کانه‌زایی توریم را نشان داد. با توجه به این که در مورد کانه‌زایی توریم در این کانسار تا پیش از این مطالعه دقیقی انجام نشده است، هدف این مقاله کانی‌شناسی، مطالعه ژئوشیمی زون کانه‌زایی توریم و تعیین دگرسانی مرتبط با کانه‌زایی توریم است.

۲. زمین‌شناسی منطقه

کانسار آهن چاه‌گز در منطقه معدنی بافق مشکل از دو توده اصلی معدنی به صورت تقریباً عمودی و دودکش مانند است که تا عمق ۶۹۰ متری اکتشاف شده است [۸، ۱۰]. از آن جایی که



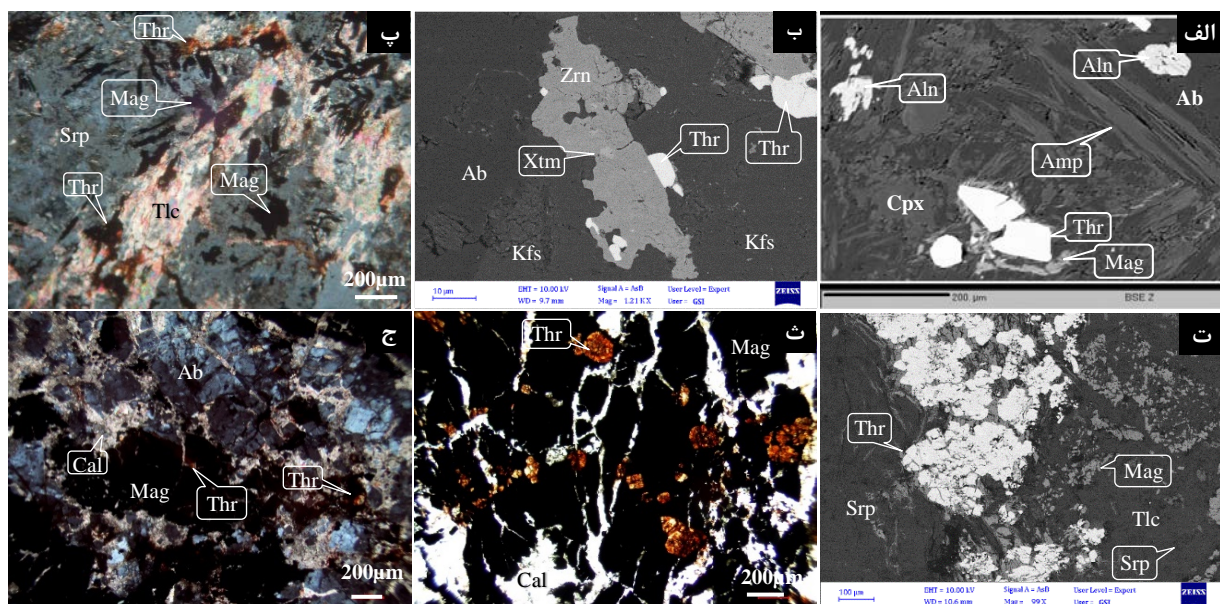
۴. بحث و نتایج

۱.۴ کانه‌زایی توریم در کانسار چاه‌گز

در کانسار چاه‌گز، کانه‌زایی توریم در حاشیه شمالی توده غربی و حاشیه جنوب شرقی توده شرقی آهن در محدوده گسل‌ها رخداده است. زون کانه‌زایی توریم بخشی از دگرسانی سدیمی-کلسیمی و دگرسانی منیزیمی مرتبط با کانه‌زایی آهن و هم‌چنین کانسنگ آهن حاشیه‌ای را قطع کرده است و به عبارتی کانه‌زایی توریم پس از کانه‌زایی آهن انفاق افتاده است. رگه‌ها و رگچه‌های تأخیری کلسیت و کوارتر دگرسانی سدیمی-کلسیمی مرتبط با کانه‌زایی آهن و کانه‌زایی توریم را قطع کرده است.

به طور کلی، فرایندهای پسام‌گمامایی دمای بالا می‌توانند سبب انتقال و تمرکز توریم و عنصر نادر خاکی شوند و به صورت جانشینی متاسوماتیک سنگ درون‌گیر نهشته می‌شوند [۱۵]. ویژگی‌های شاخص ذخایر گرمابی دمای بالا تشکیل آلبیت، آمفیبیول، آکالی فلدسپار و ازیرین ثانویه است و شاخص ذخایر گرمابی دمای متوسط تا پایین تشکیل آکالی فلدسپار، کربنات و سیلیسیس ثانویه می‌باشد [۱۵]. توریم در ذخایر دمای بالا عموماً همراه با عنصر Ta، Nb و Ti و در ذخایر دمای متوسط همراه با Pb، Zn و Cu یافت می‌شود [۱۵]. مطالعات میکروسکوپی نور عموری-انعکاسی و الکترونی بر روی نمونه‌های برداشت شده از بخش‌های دارای پرتوزایی در کانسار چاه‌گز، مجموعه کانی‌های آلبیت، آمفیبیول (اکتینیولیت و ترمولیت)، کلینوپیروکسن (اوژیت) و تالک شناسایی شد (شکل ۲) و کانه‌زایی توریم در کانسار چاه‌گز براساس این مجموعه‌های کانی‌ای می‌تواند در محدوده ذخایر گرمابی دمای بالا قرار می‌گیرد.

۳. روش پژوهش
 این مطالعه بر مشاهدات میدانی و برداشت‌های رادیومتری زمینی در کانسار آهن چاه‌گز استوار است. برای شناسایی تیپ‌های مختلف کانه‌زایی توریم و سنگ‌های میزبان تعداد ۶۰ نمونه برداشت شد و مقاطع نازک و نازک-صیقلی تهیه شده توسط میکروسکوپ نور عبوری- انعکاسی مدل Olympus CX21 آزمایشگاه کانی‌شناسی دانشگاه تهران مطالعه شدند. تجزیه کلی نمونه‌های سنگ میزبان و زون‌های کانه‌زایی توریم به روش ICP-MS و ICP-OES در آزمایشگاه زرآزمایشگاه در تهران انجام گرفت (جدول ۱). مطالعات دقیق تر کانی‌شناسی بر روی ۱۰ مقطع نازک- صیقلی توسط FESEM SIGMA/VP-ZEISS مدل مرکز پژوهش‌های کاربردی سازمان زمین‌شناسی و اکتشافات معنده کشور انجام شد. هم‌چنین برای بررسی کانی‌ها در زون‌های دگرسانی، علاوه بر بررسی مقاطع، بر روی ۵ نمونه آنالیز XRD انجام شد. ۴ مقطع نازک- صیقلی از کانه‌زایی توریم به منظور بررسی‌های ریزپردازش الکترونی به مرکز تحقیقات و فراوری مواد معنده ایران در کرج ارسال شد. در این مرکز ۱۶ نقطه برای تعیین اکسیدهای اصلی و فرعی از کانی آمفیبیول و پیروکسن پاراژنر با توریت با استفاده از الکترون میکروپریوب مدل Cameca-sx۱۰۰ با ولتاژ شتابدهنده ۱۵ KV (برای اکسیدهای اصلی) و ۲۵ KV (برای اکسیدهای فرعی)، جریان ۲۰ nA و زمان شمارش ۱۵ تا ۲۰ ثانیه انجام شده است.



شکل ۲. (الف) تصویر BSE دگرسانی سدیمی-کلسیمی مرتبط با کانه‌زایی توریم، (ب) تصویر BSE از فلدسپار پتسیمی شدن مرتبط با کانه‌زایی توریم، (پ) کانه‌زایی توریم پاراژنر با مگنتیت هم‌زمان با تالکی شدن سرپانتین‌ها، (ت) تصویر BSE از رگچه کانه‌زایی توریم در دگرسانی منیزیمی، (ث) تشکیل توریت به صورت پاراژنر با مگنتیت، (ج) رگچه کلسیتی حاوی توریت و آمفیبیول (Ab: آلبیت، Aln: آمفیبیول، Amp: آلتیت، Cpx: کلسیت، Cal: کلینوپیروکسن، Cpx: فلدسپار پتسیمی، Mag: مگنتیت، Srp: سرپانتین، Thr: تالک، Xtm: زنوتیم، Zrn: زنوتیم، Kfs: کانی‌شناسی، Tlc: تالک، Srp: سرپانتین، Thr: تالک، Tlc: تالک، Srp: سرپانتین، Thr: تالک).



جدول ۱. آنالیز نقطه‌ای آمفیبول‌های موجود در مجموعه دگرسانی سدیمی- کلسیمی

Am۷	Am۶	Am۵	Am۴	Am۳	Am۲	Am۱	%
۵۶,۳۲	۵۶,۹۵	۵۷,۲۵	۵۴,۵۸	۵۶,۴۱	۵۵,۳۱	۵۵,۵۷	SiO _۲
۰,۱۵	۰,۱۲	۰,۰۹	۰,۰۵	۰,۱۰	۰,۰۵	۰,۱۱	TiO _۲
۱,۲۸	۱,۳۳	۰,۷۹	۰,۹۷	۱,۳۷	۰,۸۷	۰,۵۴	Al _۲ O _۳
۴,۵۱	۴,۷۵	۴,۸۶	۷,۶۲	۵,۰۸	۸,۳۵	۹,۰۳	FeO
۰,۰۲	۰,۰۴	۰,۰۱	۰,۰۴	۰,۰۳	۰,۰۳	۰,۰۲	MnO
۲۱,۹۶	۲۱,۴۶	۲۲,۲۹	۱۹,۸۲	۲۱,۹۱	۱۹,۲۲	۱۸,۸۵	MgO
۱۲,۶۶	۱۲,۸۳	۱۲,۷۳	۱۳,۷۶	۱۲,۷۴	۱۲,۸۴	۱۳,۲۰	CaO
۰,۶۱	۰,۶۸	۰,۵۶	۰,۲۸	۰,۵۶	۰,۲۹	۰,۰۵	Na _۲ O
۰,۱۳	۰,۱۳	۰,۱۱	۰,۰۹	۰,۱۱	۰,۰۷	۰,۰۳	K _۲ O
۰,۰۳	۰,۰۳	۰,۰۳	۰,۰۲	۰,۰۳	۰,۰۲	۰,۰۰	Cr _۲ O _۳
۰,۰۰	۰,۰۳	۰,۰۰	۰,۰۰	۰,۰۰	۰,۰۰	۰,۰۰	NiO
۰,۰۷	۰,۰۲	۰,۰۲	۰,۰۱	۰,۰۲	۰,۰۱	۰,۰۰	V _۲ O _۳
۰,۳۰	۰,۰۰	۰,۰۰	۰,۳۸	۰,۳۴	۰,۴۵	۰,۴۳	CoO
۰,۰۴	۰,۰۱	۰,۰۱	۰,۰۰	۰,۰۴	۰,۰۴	۰,۰۰	P _۲ O _۵
۲,۱۸	۲,۱۸	۲,۲۰	۲,۱۲	۲,۱۷	۲,۱۲	۲,۱۲	H _۲ O*
۱۰۰,۱۸	۱۰۰,۶۶	۱۰۱,۳۲	۹۹,۴۲	۹۹,۸۶	۹۹,۴۰	۹۹,۶۷	Total
فرمول بر اساس ۱۶ کاتیون و ۲۳ اکسیژن							
۷,۷۵	۷,۸۲	۷,۷۹	۷,۷۴	۷,۶۵	۷,۸۱	۷,۸۶	Si
۰,۲۱	۰,۱۸	۰,۱۳	۰,۱۶	۰,۲۲	۰,۱۴	۰,۰۹	Al
۰,۰۲	۰,۰۱	۰,۰۱	۰,۰۱	۰,۰۱	۰,۰۱	۰,۰۱	Ti
۰,۳۴	۰,۱۳	۰,۴۰	۰,۰۸	۰,۵۰	۰,۲۴	۰,۱۶	Fe ^{۳+}
۴,۵۰	۴,۳۹	۴,۵۲	۴,۱۹	۴,۵۲	۴,۰۵	۳,۹۷	Mg
۰,۱۸	۰,۴۱	۰,۱۵	۰,۸۲	۰,۰۹	۰,۷۴	۰,۹۱	Fe ^{۲+}
۰,۰۰	۰,۰۰	۰,۰۰	۰,۰۰	۰,۰۰	۰,۰۰	۰,۰۰	Mn
۱,۸۷	۱,۸۹	۱,۸۶	۲,۰۹	۱,۸۹	۱,۹۴	۲	Ca
۰,۱۶	۰,۱۸	۰,۱۵	۰,۰۸	۰,۱۵	۰,۰۸	۰,۰۱	Na
۰,۰۲	۰,۰۲	۰,۰۲	۰,۰۲	۰,۰۲	۰,۰۱	۰,۰۱	K
۲	۲	۲	۲	۲	۲	۲	OH*
۱۷,۰۵	۱۷,۰۹	۱۷,۰۲	۱۷,۱۸	۱۷,۰۵۹	۱۷,۰۴	۱۷,۰۲	Sum

۲۰.۴ کانی‌شناسی زون کانه‌زایی توریم

دگرسانی سدیمی- کلسیمی مرتبط با کانه‌زایی توریم شامل آلبیتی شدن، آمفیبولی شدن و کلینوپیروکسنی شدن است (شکل ۲-الف و ب)، اما میزان پیروکسنی شدن به مراتب کمتر می‌باشد. آمفیبول یکی از کانی‌های اصلی در مجموعه کانی‌ای دگرسانی سدیمی- کلسیمی مرتبط با کانه‌زایی توریم در کانسار چاه‌گز می‌باشد که بخش عده آمفیبول‌ها حاصل دگرسانی سنگ میزبان و بخش کمتری مربوط به جانشینی کلینوپیروکسن متبلور شده در مراحل اول دگرسانی سدیمی- کلسیمی توسط آمفیبول است. علاوه بر آلبیتی شدن، فلدرسپار پیاسیم به مقدار خیلی جزئی نیز تشکیل شده است. شواهد پاراژنتیکی و روابط بافتی مجموعه کانی‌ای دگرسانی نشان می‌دهد که تشکیل آلبیت باعث کاهش میزان سدیم سیال

رخداد دگرسانی گرمایی به ویژه دگرسانی آلکالان در اطراف کانسارهای اکسیدآهن- آپاتیت در منطقه بافق از گسترش زیادی برخوردارند [۱۳]. ارتباط کانه‌زایی عناصر کمیاب و توریم در دگرسانی‌های آلکالان در مناطق مختلفی از دنیا مانند اوکراین و جنوب استرالیا اثبات شده است [۱۶]. آمفیبولی (اکتینولیت و ترمولیت)، آلبیتی و پیروکسنی (اوژیت و دیوپسید) شدن از عده‌ترین محصول‌های دگرسانی آلکالان در منطقه بافق هستند [۷]. به طور کلی سه تیپ کانه‌زایی توریم در کانسار چاه‌گز اتفاق افتاده است که به ترتیب مقدار گسترش عبارتست از: ۱) مرتبط با دگرسانی سدیمی- کلسیمی، ۲) مرتبط با دگرسانی منیزیمی، ۳) پاراژنز با مگنتیت و کلسیت.



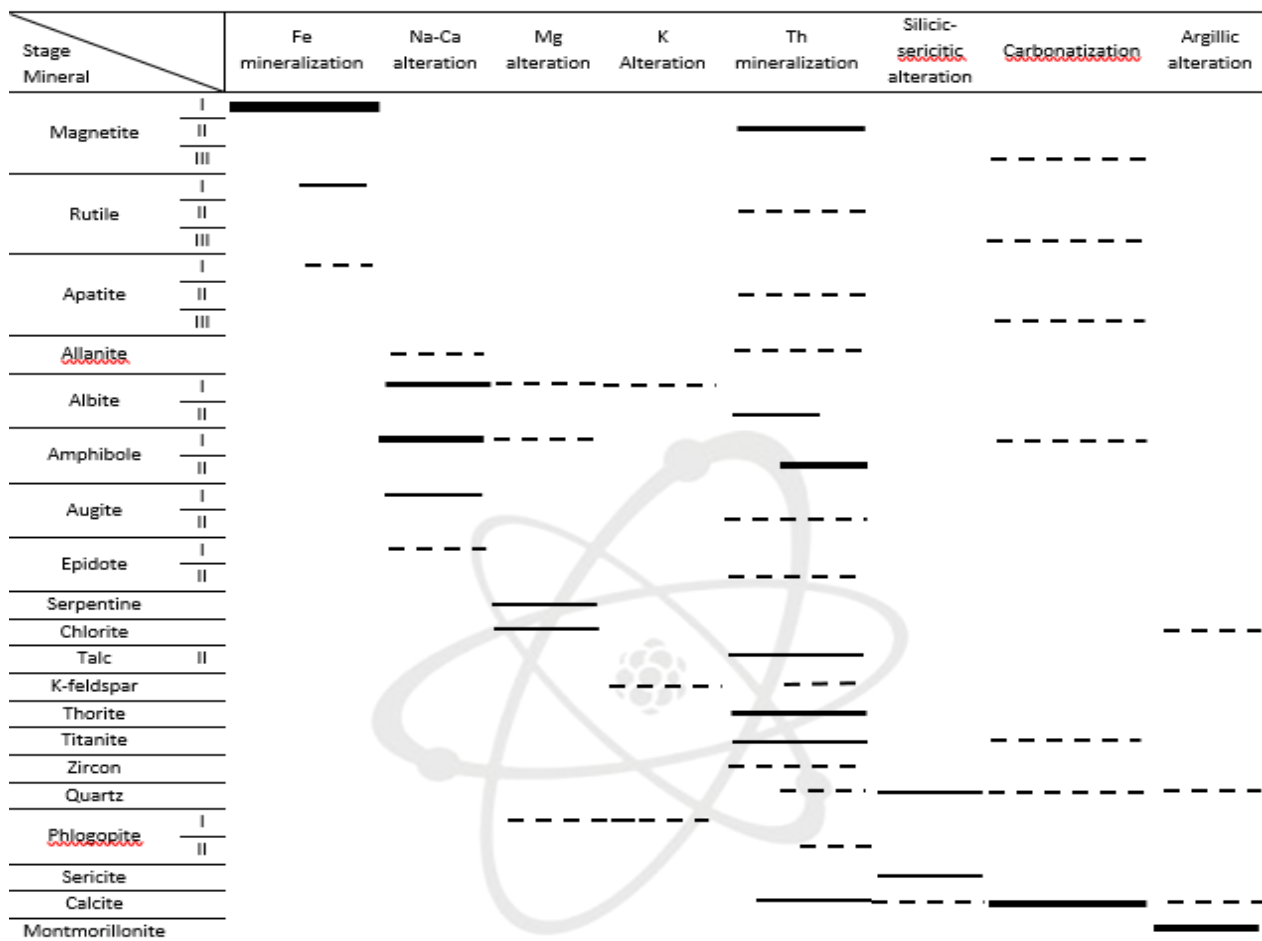
رگچه‌ها متبلور شده است (شکل ۲-ج). در اثر نفوذ سیالات حاوی کمپلکس‌های کربناته به شکستگی‌های مگنتیت توده‌ای، توریت در فضاهای خالی و شکستگی‌های مگنتیت و آپاتیت تشکیل شده است.

۳.۴ کانی‌شناسی

به منظور تعیین نوع کانی آمفیبول و پیروکسن پاراژنر با توریت، تجزیه میکروپریوب بر روی مجموعه دگرسانی سدیمی-کلسیمی مرتبط با کانه‌زایی توریم انجام شد. نتایج آنالیز نقطه‌ای آمفیبول و کلینوپیروکسن به همراه محاسبه فرمول ساختاری آن‌ها در جدول‌های ۱ و ۲ آورده شده است. فرمول ساختمانی آمفیبول و کلینوپیروکسن به ترتیب بر اساس ۲۳ و ۶ اتم اکسیژن محاسبه شده است. براساس تجزیه‌های نقطه‌ای میکروپریوب و طبقه‌بندی لیک و همکاران [۱۵]، آمفیبول‌های مرتبط با کانه‌زایی توریم در گروه آمفیبول‌های کلسیمی قرار می‌گیرد و ترکیب آن‌ها عمدتاً ترمولیت و اکتینولیت است (شکل ۴-الف). همچنین براساس طبقه‌بندی موریموتو و همکاران [۱۸]، کلینوپیروکسن‌های موجود در دگرسانی سدیمی-کلسیمی مرتبط با کانه‌زایی توریم متعلق به پیروکسن‌های غنی از کلسیم بوده و از نوع اوژیت هستند (شکل ۴-ب).

گرمابی شده و به عبارتی مقدار پتابسیم نسبت به سدیم افزایش یافته و به دنبال آن فلدسپار پتابسیم نهشت شده است (شکل ۲-ب). آمفیبول‌ها در مراحل بعدی کلریتی، فلوگوبیتی و تالکی شده‌اند. در زون کانه‌زایی توریم در دگرسانی سدیمی-کلسیمی عموماً توریت همراه با مگنتیت و تیتانیت و به مقدار کمتر آلانیت، زیرکن و زنوتیم است (شکل ۲-الف و ب) که توریم می‌تواند وارد شبکه کانی تیتانیت، آلانیت و زیرکن شود. کانه‌زایی توریم در دگرسانی منیزیمی همزمان با تالکی شدن سرپانتین‌های مرتبط با کانه‌زایی آهن و به صورت پاراژنر با مگنتیت، تیتانیت و روتیل به صورت رگچه‌ای و پرکننده فضاهای خالی در زمینه سرپانتین و تالک اتفاق افتاده است (شکل ۲-پ و ت) و در مراحل بعدی، کلریت هم تشکیل شده است. کلسیت و آپاتیت نیز در برخی موارد همراه با توریت، مگنتیت و تالک تشکیل شده است. توالی پاراژنتیکی در کانسار چاه‌گز در شکل ۳ آورده شده است.

رگچه‌های تأخیری کلسیت در حاشیه کانسنگ آهن توده‌ای دارای کانه‌زایی توریم پاراژنر با مگنتیت هستند که بعد از فاز اصلی کانه‌زایی آهن تشکیل شده است (شکل ۲-ث و ج). کلسیت‌های پاراژنر با توریت و مگنتیت اغلب بی‌شکل هستند و مقادیر فرعی آپاتیت، آلبیت، آمفیبول و کوارتز نیز همراه این



شکل ۳. توالی پاراژنتیکی در کانسار چاه‌گز.



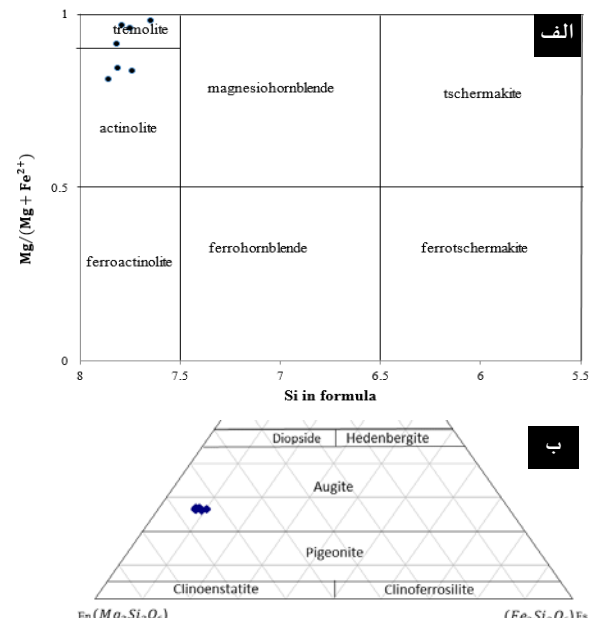
جدول ۲. آنالیز نقطه‌ای کلینوپیروکسن‌ها در مجموعه دگرسانی سدیمی- کلسیمی

CpxV	CpxU	CpxS	CpxF	CpxT	CpxZ	CpxA	%
۵۵,۷۷	۵۵,۵۴	۵۵,۶۲	۵۷,۸۲	۵۶,۷۱	۵۶,۰۱	۵۵,۲۸	SiO _۲
,۰,۰۵	,۰,۰۸	,۰,۱۸	,۰,۰۱	,۰,۰۶	,۰,۱۰	,۰,۱۲	TiO _۲
,۰,۷۵	۱,۷۵	۱,۵۷	,۰,۴۰	۱,۴۸	,۰,۸۸	۱,۴۶	Al _۲ O _۳
۴,۹۲	۵,۳۳	۴,۸۹	۹,۲۶	۴,۵۹	۵,۶۳	۶,۲۲	FeO
,۰,۰۴	,۰,۰۵	,۰,۰۰	,۰,۰۹	,۰,۰۵	,۰,۰۱	,۰,۰۶	MnO
۲۲,۶۵	۲۱,۸۸	۲۲,۵۴	۱۸,۲۹	۲۲,۲۷	۲۲,۱۳	۲۱,۹۱	MgO
۱۲,۶۱	۱۲,۵۳	۱۲,۸۶	۱۳,۵۲	۱۲,۵۷	۱۲,۴۰	۱۲,۷۴	CaO
,۰,۵۷	,۰,۶۰	,۰,۵۷	,۰,۰۸	,۰,۵۹	,۰,۶۹	,۰,۵۷	Na _۲ O
,۰,۰۸	,۰,۱۳	,۰,۰۹	,۰,۰۲	,۰,۱۶	,۰,۱۱	,۰,۱۰	K _۲ O
,۰,۰۳	,۰,۰۰	,۰,۰۶	,۰,۰۰	,۰,۰۱	,۰,۰۴	,۰,۰۰	Cr _۲ O _۳
,۰,۰۰	,۰,۰۰	,۰,۰۰	,۰,۰۰	,۰,۰۴	,۰,۰۰	,۰,۰۰	NiO
,۰,۰۱	,۰,۰۳	,۰,۰۵	,۰,۰۰	,۰,۰۵	,۰,۰۴	,۰,۰۳	V _۲ O _۳
,۰,۷۰	,۰,۲۱	,۰,۰۰	,۰,۲۵	,۰,۰۰	,۰,۱۳	,۰,۰۰	CoO
,۰,۰۰	,۰,۰۴	,۰,۰۲	,۰,۰۰	,۰,۰۲	,۰,۰۰	,۰,۰۰	P _۲ O _۵
۹۸,۱۸	۹۸,۱۷	۹۸,۴۵	۹۹,۴۹	۹۸,۶۰	۹۸,۱۷	۹۸,۴۹	Total
فرمول بر اساس ^۴ کاتیون و ^۶ اکسیژن							
۲,۰۴	۲,۰۳	۲,۰۲	۲,۱۴	۲,۰۵	۲,۰۴	۲,۰۱	Si
,۰,۰۰	,۰,۰۰	,۰,۰۰	,۰,۰۰	,۰,۰۰	,۰,۰۰	,۰,۰۰	Ti
,۰,۰۳	,۰,۰۸	,۰,۰۷	,۰,۰۲	,۰,۰۶	,۰,۰۴	,۰,۰۶	Al
,۰,۰۰	,۰,۰۰	,۰,۰۰	,۰,۰۰	,۰,۰۰	,۰,۰۰	,۰,۰۰	Fe ^{۳+}
,۰,۰۰	,۰,۰۰	,۰,۰۰	,۰,۰۰	,۰,۰۰	,۰,۰۰	,۰,۰۰	Cr ^{۳+}
,۰,۱۵	,۰,۱۶	,۰,۱۵	,۰,۲۹	,۰,۱۴	,۰,۱۷	,۰,۱۹	Fe ^{۲+}
,۰,۰۰	,۰,۰۰	,۰,۰۰	,۰,۰۰	,۰,۰۰	,۰,۰۰	,۰,۰۰	Mn
۱,۲۴	۱,۱۹	۱,۲۲	۱,۰۱	۱,۲۰	۱,۲۰	۱,۱۹	Mg
,۰,۴۹	,۰,۴۹	,۰,۵۰	,۰,۵۴	,۰,۴۹	,۰,۴۸	,۰,۵۰	Ca
,۰,۰۴	,۰,۰۴	,۰,۰۴	,۰,۰۱	,۰,۰۴	,۰,۰۵	,۰,۰۴	Na
,۰,۰۰	,۰,۰۱	,۰,۰۰	,۰,۰۰	,۰,۰۱	,۰,۰۱	,۰,۰۰	K
۴	۴	۴	۴	۴	۴	۴	Sum

۴.۴ ژئوشیمی زون کانه‌زایی توریم

عیار توریم در زون کانه‌زایی توریم از حدود ۱۱۲ تا ۸۴۵ پی‌بی ام با میانگین ۴۵۰ پی‌بی ام متغیر است. براین اساس، نمودارهای بهنجار شده عناصر نامتحرك به منظور تعیین ویژگی‌های ژئوشیمیایی زون کانه‌زایی آهن و منشأ سیالات عامل کانه‌زایی ترسیم گردید. نمودار بهنجار شده عناصر کمیاب نامتحرك نسبت به گوشه‌های اولیه [۱۹] برای زون کانه‌زایی توریم مبین غنی‌شدگی این سنگ‌ها از توریم و تهی‌شدگی نسبی از Ti, Zr-Hf و Nb-Ta و است که از ویژگی‌های سنگ‌های وابسته به مناطق فرورانش و مagmaهای کمان‌های آتش‌فشاری می‌باشد (شکل ۵-الف) [۲۱-۲۰].

میزان $\sum \text{REE}$ در حاشیه کانسنگ آهن حاوی کانه‌زایی توریم برابر با ۶۶,۶۵ پی‌بی ام می‌باشد و LREEها غنی‌شدگی دارند. میزان $\sum \text{REE}$ نمونه‌های زون HREE کانه‌زایی توریم در دگرسانی سدیمی- کلسیمی و منیزیمی به ترتیب دامنه ۷۰,۵۷ تا ۱۲۴,۷۵ و ۶۶,۹۹ تا ۱۴۹,۲۹ پی‌بی ام



شکل ۴. (الف) طبقه‌بندی آمفیبول‌ها [۱۹]، (ب) پیروکسن‌ها [۱۸] بر پایه ترکیب شیمیایی آن‌ها.

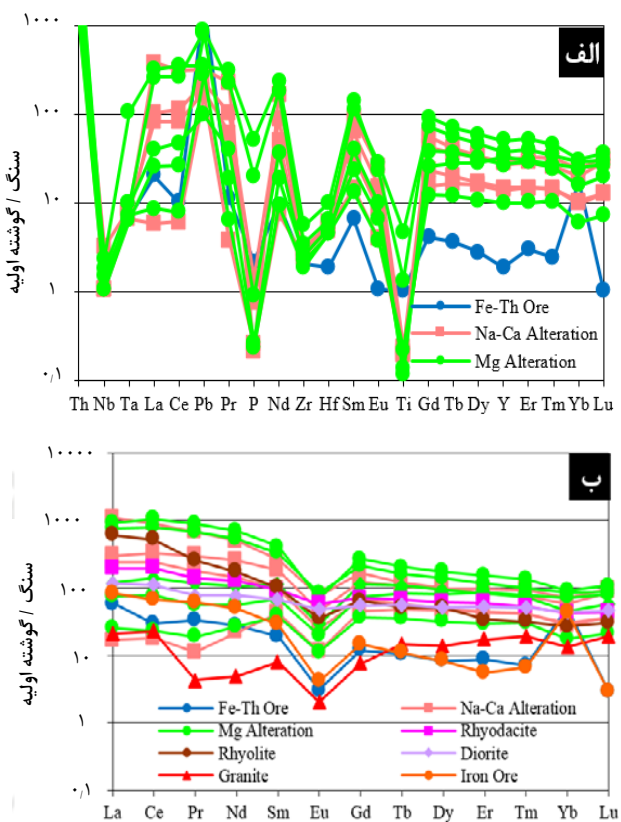


الگوی توزیع عناصر نادر خاکی بهنجار شده نسبت به گوشه‌ای اولیه [۱۹] در سنگ‌های میزان کانسار چاه‌گز (گراناتیت، دیوریت، ریولیت و ریوداسیت) با کانسنگ آهن و زون کانه‌زایی توریم تقریباً مشابه هستند و همگی ناهنجاری منفی واضح Eu، روندهای تفریق LREE/HREE مشخص را نشان می‌دهند و می‌توان نتیجه گرفت که الگوی مشابه در آن‌ها از منشأ یکسان ناشی شده است. ناهنجاری منفی Eu از سیالات عامل کانه‌زایی به ارث برده شده است، بدین‌صورت که سیالات از سنگ‌هایی منشأ گرفته‌اند که در آن‌ها Eu⁺² توسط تبلور پلاژیوکلاز حذف شده است یا در حال تعادل با آن‌ها بوده‌اند و در نتیجه سیال از Eu تهی شده است [۲۲-۲۳]. ناهنجاری منفی Eu می‌تواند حاکی از شرایط احیایی سیال کانه‌زا و محیط نیز باشد و با توجه به وجود مگنتیت پاراژنز با توریم در زون کانه‌زایی توریم، ناهنجاری منفی Eu به احتمال زیاد به دلیل شرایط احیایی سیال و محیط نهشت می‌باشد.

۵. نتیجه‌گیری

براساس بررسی‌های صحرایی و مطالعات کانی‌شناسی در کانسار چاه‌گز، سه تیپ کانه‌زایی توریم در این کانسار شناسایی شده است و هم‌چنین مشخص شد که رخداد کانه‌زایی توریم پس از کانه‌زایی آهن عمده‌است در دگرسانی‌های سدیمی- کلسیمی و منیزیمی و به صورت فرعی در کانسنگ آهن حاشیه توده معدنی اصلی آهن اتفاق افتاده است. کانه‌زایی توریم در کانسار چاه‌گز حاصل دگرسانی گرمابی بوده و خارج از محدوده کانسنگ آهن گسترش قابل توجهی دارد. کانی اصلی توریم در زون کانه‌زایی توریم، توریت همراه با مقادیر کمتر تیتانیت است که به صورت رگچه‌ای و پرکننده فضاهای خالی و هم‌چنین انکلوژیون تشکیل شده است. در بخش‌های حاشیه‌ای کانسنگ آهن، توریت به صورت پاراژنز با کلسیت+ مگنتیت+ آپاتیت± آلبیت± آمفیبیول± کوارتز وجود دارد. مجموعه کانی‌های مرتبط با کانه‌زایی توریم در دگرسانی سدیمی- کلسیمی شامل ترمولیت+ اکتینولیت+ آلبیت+ اوژیت+ توریت± ارتوکلаз± مگنتیت± تیتانیت± زیرکن± آلانیت± زنوتیم می‌باشد. مجموعه کانی‌ای در دگرسانی منیزیمی مرتبط با کانه‌زایی توریم متشکل از تالک+ توریت+ مگنتیت+ تیتانیت± روتیل± کلسیت± آپاتیت است. الگوهای ژئوشیمیابی توزیع عناصر نادر خاکی بهنجار شده نسبت به گوشه‌ای اولیه مشابه در نمونه‌های سنگ‌های نفوذی و خروجی میزان با نمونه‌های زون کانه‌زایی توریم بیان گر ارتباط کانه‌زایی توریم با مagma تیسم کمان- قاره‌ای طی کامبرین آغازین می‌باشد. مجموعه کانی‌ای زون کانه‌زایی توریم در کانسار چاه‌گز منطبق بر کانه‌زایی‌های دمای بالا است. عناصر Ti, Nb, Ta در الگوی پراکندگی عناصر کانسنگ توریم چاه‌گز تهی شدگی نشان

را نشان می‌دهد که میزان HREE نسبت به HREE شدگی دارد. هم‌چنین تفکیک مشخصی بین LREE و HREE در زون کانه‌زایی توریم مشاهده می‌شود و میزان $(La/Yb)_n$ از ۰,۶۰ تا ۰,۱۹/۴ برای دگرسانی سدیمی- کلسیمی و ۰,۱۰/۶ تا ۰,۱۰/۲۵ برای دگرسانی منیزیمی متغیر می‌باشد که نشان‌دهنده آن است که سیالات عامل کانه‌زایی توریم از LREE غنی شده‌اند. میزان $(La/Yb)_n$ ، درجه تفکیک LREE و $(La/Sr)_n$ از ۰,۳۹ تا ۰,۴۲۲ در دگرسانی سدیمی- کلسیمی و ۰,۶۶ تا ۰,۲۳۳ در دگرسانی منیزیمی متغیر است. درجه تفکیک HREE از ۰,۶۲ تا ۰,۹۷ در دگرسانی سدیمی- کلسیمی و ۰,۱۰/۴ تا ۰,۲۹۰ در دگرسانی منیزیمی متغیر است. درجه تفکیک بین LREE به طور میانگین ۰,۱۶ و در HREE‌ها به طور میانگین ۰,۷۹ و در HREE میانگین ۰,۲۹ را نشان می‌دهد.



شکل ۵. الف) الگوی پراکندگی عناصر جزیی بهنجار شده نسبت به گوشه‌ای اولیه [۱۹] در زون کانه‌زایی توریم، ب) مقایسه الگوی پراکندگی عناصر نادر خاکی بهنجار شده نسبت به گوشه‌ای اولیه [۱۹] در زون کانه‌زایی توریم با سنگ‌های میزان کانسار چاه‌گز.



8. H. Förster, A. Jafarzadeh, *The Bafq Mining District in Central Iran: a Highly Mineralized Infracambrian Volcanic Field*, *Econ. Geol.*, **89**, 1697 (1994).
9. M. Jami, *The University of New South Wales, Ph.D Thesis*, (2005).
10. F. Daliran, H.G. Stosch, P. Williams, *In: Proceedings of the 10th Biennial SGA Meeting, Edited by Williams et al.*, (Townsville, Australia), 623-625 (2009).
11. S. Ziapour, et al., *Mineralogy, Geochemistry, and Genesis of the Chahgaz (XIVA Anomaly) Kiruna-Type Iron Oxide-Apatite (IOA) Deposit, Bafq District, Central Iran*, *Ore Geol. Rev.*, 128 (2021).
12. F. Moore, S. Modabberi, *Origin of Choghart Iron Oxide Deposit, Bafq Mining District, Central Iran: New Isotopic and Geochemical Evidence*, *J. Sci. 14(3)*, 259 (2003).
13. F. Torab, *Clausthal University of Technology, Ph.D Thesis*, (2008).
14. J. Ramezani, R.D. Tucker, *The Saghand Region, Central Iran: U-Pb Geochronology, Petrogenesis and Implications for Gondwana Tectonics*, *Am. J. Sci.*, **303**, 622 (2003).
15. N.A. Titayeva, *Nuclear geochemistry*, 1st Ed. (**CRC Press/Taylor & Francis, London**, 1994).
16. A. Kontonikas-Charos, C.L. Ciobanu, N.J. Cook, *Albitization and Redistribution of REE and Y in IOCG Systems: Insights from Moonta-Wallaroo, Yorke Peninsula, South Australia*, *J. Lithos.* **208-209**, 178 (2014).
17. B.E. Leake, et al., *Nomenclature of Amphiboles: Report of the Subcommittee on Amphiboles of the International Mineralogical Association, Commission on New Minerals and Mineral Names*, *Am. Mineral.*, **82**, 1019 (1997).
18. N. Morimoto, et al., *Nomenclature of Pyroxenes*, *Mineral. Mag.*, **14**, 198 (1988).
19. S.S. Sun, W.F. McDonough, *In: Magmatism in the Ocean Basins*, Edited by A.D. Saunders, and M.J. Norry (*Geological Society of London, Special Publication*), 313-345 (1989).
20. E. Aldanmaz, et al., *Petrogenetic Evolution of Late Cenozoic, Post-collision Volcanism in Western Anatolia, Turkey*, *J. Volcanology and Geothermal Research*, **102**, 67 (2000).
21. A.W. Hofmann, *Chemical Differentiation of the Earth: The Relationship Between Mantle, Continental Crust, and Oceanic Crust*. *J. Earth and Planetary Science Letters*, **90**, 297 (1988).
22. P. Henderson, *Rare earth element geochemistry*, 1st Ed. (*Elsevier Science*, 1984).
23. H.R. Rollinson, *Using Geochemical Data: Evaluation, Presentation and Interpretation*, 1st Ed. (Longman, London, 1993).

می‌دهند و از آن جایی که کانه‌زایی توریم در این منطقه در ارتباط با ماقماتیسم کالک-آلکالن زون فروزانش حاشیه قاره‌ای است و سنگ‌های تشکیل شده در این مناطق دارای تهی‌شدگی هستند، در نتیجه کانه‌زایی توریم در منطقه چاه Ta, Nb و Eu مذکور را نشان می‌دهد. ناهنجاری منفی واضح چنان وجود مگنتیت پاراژن با توریت بیان گر وجود شرایط احیایی برای سیال کانه‌زا و محیط تشکیل است.

تشکر و قدردانی

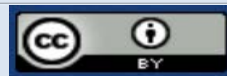
نگارندگان از حمایت‌های مادی و معنوی شرکت تهیه و تولید مواد معدنی و مجتمع معدن سنگ آهن فلات مرکزی ایران در به ثمر رسیدن پژوهش حاضر تقدیر و تشکر می‌نمایند. هم‌چنین از زحمات جناب آقای مهندس اسلامی و آقای مهندس میرابی در هماهنگی برای نمونه‌برداری سپاسگزاری می‌شود.

مراجع

1. R. Frietsch, J.A. Perdahl, *Rare Earth Elements in Apatite and Magnetite in Kirunatype Iron Ores and Some Other Iron Ore Types*, *Ore Geol. Rev.*, **9**, 489 (1995).
2. M.W. Hitzman, *In: Hydrothermal Iron Oxide Copper-Gold and Related Deposits: A Global Perspective*, Edited by T.M. Porter (PGC Publishing Adelaide Australia), 9-25 (2000).
3. P.J. Williams, P.J. Pollard, *Australian Proterozoic Iron Oxide-Cu-Au Deposits: Overview with New Metallogenetic and Exploration Data from the Cloncurry District, Northwest Queensland*, *Explor. Min. Geol.*, **10**, 191 (2001).
4. H.G. Stosch, et al., *Uranium-Lead Ages of Apatite from Iron Oxide Ores of the Bafq District, East-Central Iran*, *Miner. Depos.*, **46**, 9 (2011).
5. L. Corriveau, P. Williams, H. Mumin, *In: Exploring for Iron Oxide Copper-Gold Deposits: Canada and Global Analogues*, Edited by L. Corriveau, and H. Mumin, (*Geological Association of Canada, Short Course Notes*), 87-106 (2010).
6. M.D. Barton, *In: Treatise of Geochemistry*, Edited by H. Holland, and K. Turekian (Elsevier, London), 515-536 (2014).
7. K. Khoshnoodi, et al., *Alkali Metasomatism and Th-REE-Mineralization in the Choghart Deposit, Bafq District, Central Iran*, *Geol. Croat.*, **70**, 53 (2017).

COPYRIGHTS

©2021 The author(s). This is an open access article distributed under the terms of the Creative Commons Attribution (CC BY 4.0), which permits unrestricted use, distribution, and reproduction in any medium, as long as the original authors and source are cited. No permission is required from the authors or the publishers.



استناد به این مقاله

سманه ضیاپور، داریوش اسماعیلی، خالق خشنودی، شجاع الدین نیرومند (۱۴۰۱)، کانه‌زایی و ژئوشیمی کانه‌زایی توریم در کانسار آهن چاه‌گز، منطقه یافق، زون ایران مرکزی، ۱۰۰، ۸۷-۸۰، DOR: 20.1001.1.17351871.1401.43.2.9.4

Url: https://jonsat.nstri.ir/article_1386.html

